

A partir da *Figura 1* responda as questões a seguir:

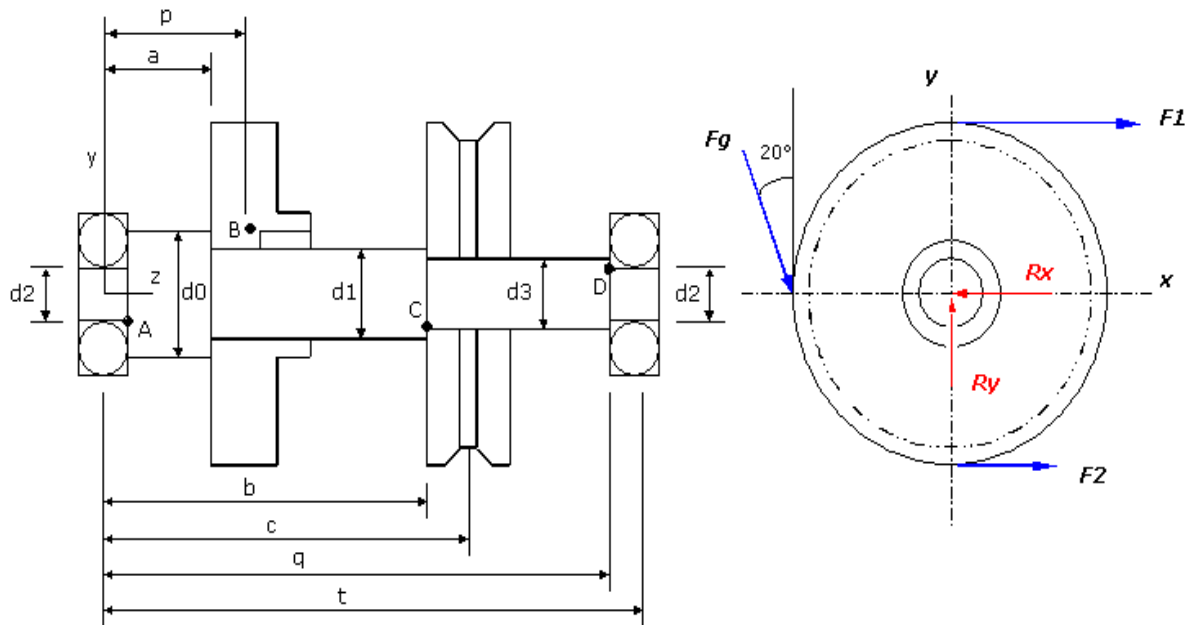


Figura 1. Montagem de eixo, polia e engrenagem. Esquema sem escala.

Dimensões: $a = 1,5$ in; $p = 2,0$ in; $b = 5,0$ in; $c = 5,25$ in; $q = 6,5$ in; $t = 7,25$ in.

Exercício 01) Projete um eixo para suportar os complementos mostrados na *Figura 1* com um fator de segurança de projeto mínimo de 2,5.

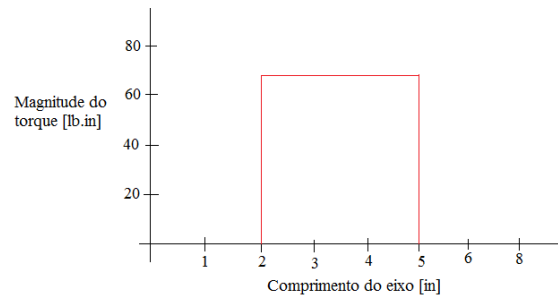
Dados: Um projeto preliminar da configuração do eixo é mostrado na *Figura 1*. Ele deve transmitir 2 hp a 1750 rpm. O torque e a força na engrenagem são constantes com o tempo. Considere que o eixo seja de aço baixo carbono estirado a frio (SAE 1020). Os diâmetros da polia e da engrenagem são 6 in para ambos.

Resolução:

1) Determinar o torque transmitido a partir da potência e a velocidade angular:

$$(Eq. 9.1) \quad T = \frac{P}{W} = \frac{2 \text{ hp} \left(6600,26 \frac{\text{in} \cdot \text{lb} / \text{s}}{\text{hp}} \right)}{1750 \text{ rpm} \left(\frac{2\pi \text{ rad} / \text{s}}{60 \text{ rpm}} \right)} = 72,03 \text{ lb} \cdot \text{in}$$

Esse torque existe somente na porção do eixo entre a polia e a engrenagem, e é uniforme em magnitude sobre aquele comprimento, como mostrado na figura abaixo:



2) As forças tangenciais na polia e na engrenagem são encontradas a partir do torque e de seus respectivos raios. Uma correia em V tem tensão em ambos os lados e a razão entre a força F_1 no lado apertado e F_2 no lado folgado é geralmente suposta como aproximadamente 5.

$$F_n = F_1 - F_2 \rightarrow \text{força resultante associada com o torque motor}$$

$$F_s = F_1 + F_2 \rightarrow \text{força que flete o eixo}$$

$$* \frac{F_1}{F_2} = 5 \begin{cases} F_n = 5F_2 - F_2 = 4F_2 \\ F_s = 5F_2 + F_2 = 6F_2 \end{cases} \Rightarrow \frac{F_n}{F_s} = \frac{4}{6} \Rightarrow F_s = 1,5F_n$$

Olhando pela extremidade da polia:

$$\bullet F_n = \frac{T}{r} = \frac{72,03 \text{ lb} \cdot \text{in}}{3 \text{ in}} = 24,01 \hat{i} \text{ lb}$$

$$\bullet F_s = 1,5F_n = 36,015 \hat{i} \text{ lb}$$

3) A força tangencial no dente da engrenagem é:

$$F_{gtangencial} = \frac{T}{r} = \frac{72,03 \text{ lb} \cdot \text{in}}{3 \text{ in}} = -24,01 \hat{j} \text{ lb}$$

$$F_{gradial} = F_g \sin 20^\circ = F_{gtangencial} \frac{1}{\cos 20^\circ} \sin 20^\circ = F_{gtangencial} \cdot \tan 20^\circ$$

$$F_{gtangencial} = F_g \cos 20^\circ$$

$$F_{gradial} = F_{gtangencial} \cdot \tan 20^\circ = 8,74 \hat{i} \text{ lb}$$

4) Considera-se que as forças na engrenagem e na polia sejam aplicadas nos seus centros. Calculando as forças de reação nos planos xy e yz usando respectivamente $\sum F_x = 0$, $\sum M_x = 0$ e $\sum F_y = 0$, $\sum M_y = 0$:

$$\bullet \sum M_A = R_2 t + F_g p + F_s c \Rightarrow -\frac{1}{t} (F_g p + F_s c) = -\frac{1}{7,25} (2F_g + 5,25F_s)$$

$$R_2 = -0,28F_g - 0,72F_s$$

- $$\sum F = R_1 + F_g + F_s + R_2 = 0 \Rightarrow R_1 = -F_g - F_s - R_2 = -F_g - F_s - (-0,28F_g - 0,72F_s)$$

$$R_1 = -0,28F_g - 0,72F_s$$

Resolvendo R_1 e R_2 em cada plano, usando as componentes apropriadas das cargas F_g e F_s :

- $$R_{1x} = -0,72F_{gx} - 0,28F_{sx} = -0,72(8,74) - 0,28(36,015) = -16,38 \text{ lb}$$
- $$R_{1y} = -0,72F_{gy} - 0,28F_{sy} = -0,72(-24,01) - 0,28(0) = 17,29 \text{ lb}$$
- $$R_{2x} = -0,28F_{gx} - 0,72F_{sx} = -0,28(8,74) - 0,72(36,015) = -28,38 \text{ lb}$$
- $$R_{2y} = -0,28F_{gy} - 0,72F_{sy} = -0,28(-24,01) - 0,72(0) = 6,72 \text{ lb}$$

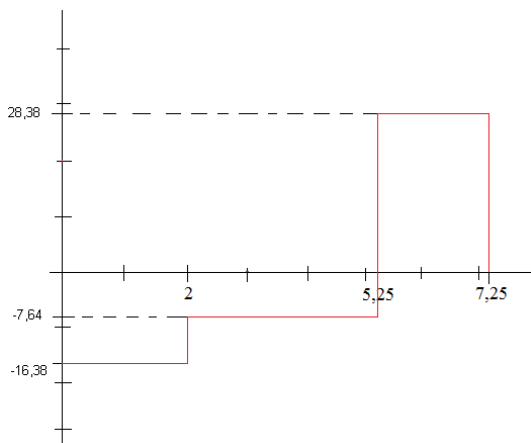
5) Agora é possível encontrar a carga de cisalhamento e o momento atuante do eixo. Usando singularidade é possível encontrar uma equação para a função de carregamento q . Basta integrá-la para obter a função de cisalhamento V , e integrando novamente, a função de momento M .

$$q = R_1 \langle z-0 \rangle^{-1} + F_g \langle z-2 \rangle^{-1} + F_s \langle z-5,25 \rangle^{-1} + R_2 \langle z-7,25 \rangle^{-1}$$

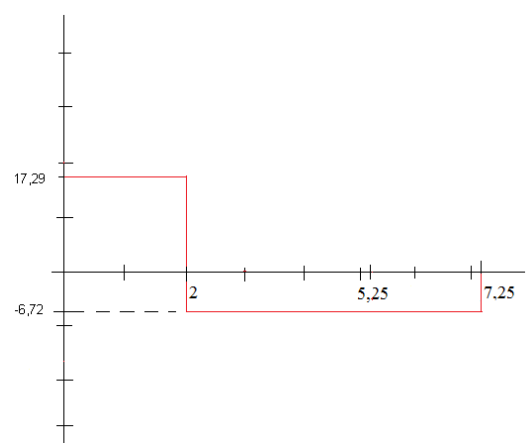
$$V = R_1 \langle z-0 \rangle^0 + F_g \langle z-2 \rangle^0 + F_s \langle z-5,25 \rangle^0 + R_2 \langle z-7,25 \rangle^0$$

$$M = R_1 \langle z-0 \rangle^1 + F_g \langle z-2 \rangle^1 + F_s \langle z-5,25 \rangle^1 + R_2 \langle z-7,25 \rangle^1$$

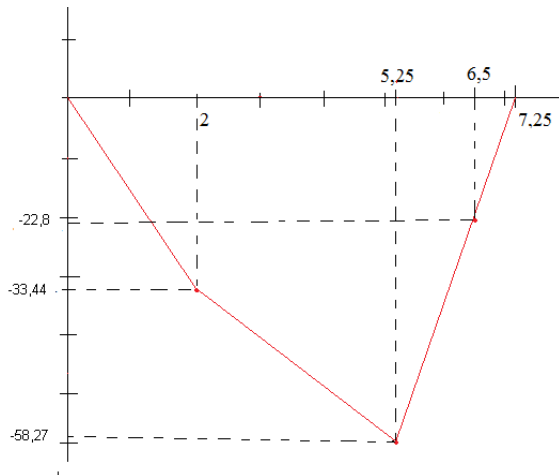
6) Substituindo os valores das cargas e as forças de reação para cada direção coordenada nas equações encontradas anteriormente, tem-se:



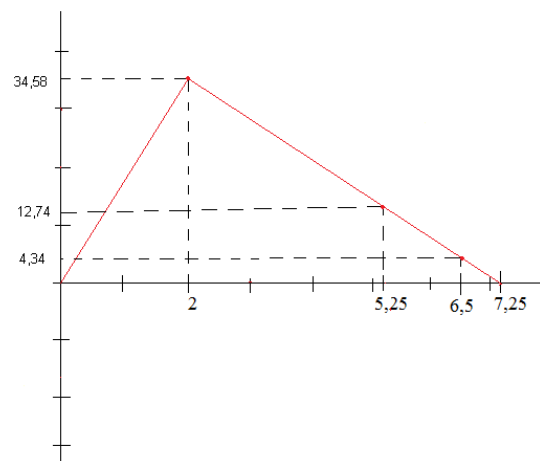
Cisalhamento no plano x-z



Cisalhamento no plano y-z



Momento no plano x-z



Momento no plano y-z

Magnitude do momento: Ponto B (2 in): $M_B = 48,1lb.in$

Ponto C (5,25 in): $M_C = 59,65lb.in$

Ponto D (6,5 in): $M_D = 23,2lb.in$

7) Um material de teste precisa ser escolhido para os cálculos. Primeiramente tentamos um material barato, aço de baixo carbono laminado a frio, como SAE 1020 com $S_{ut} = 68kpsi$ e $S_y = 57kpsi$. Embora esse material não seja excepcionalmente forte, ele tem baixa sensibilidade ao entalhe, o que será uma vantagem dadas as grandes concentrações de tensão.

O limite de resistência à fadiga não corrigido (S'_e) é dado por:

$$(Eq. 6.5) \quad S'_e = 0,5S_{ut} = 0,5(68000) = 34000 \text{ psi}$$

O limite de resistência à fadiga corrigido (S_e) é dado por:

$$(Eq. 6.6) \quad S_e = C_{carreg} \cdot C_{tamanho} \cdot C_{superf} \cdot C_{temp} \cdot C_{conf} \cdot S'_e$$

- $C_{carreg} = 1 \rightarrow$ O carregamento é flexão
- $C_{tam} = 1 \rightarrow$ hipótese
- $C_{sup} = 2,7(68)^{-0,265} = 0,882$ (Eq. 6.7)
- $C_{temp} = 1 \rightarrow$ temperatura não é elevada ($< 450^\circ C$)
- $C_{conf} = 1 \rightarrow$ assumindo confiabilidade de 50,0%

Então: $S_e = 0,88(34000) = 29920 \text{ psi}$

8) A sensibilidade do material ao entalhe é encontrada pela eq. 6-13 ou figura 6-36. Supondo raio de entalhe 0,01 in para todos os degraus:

Tabela 6-6 $\rightarrow S_{ut} = 68 \text{ kpsi}$; $\sqrt{a} = 0,096 \text{ in}^{1/2}$ (interpolação)

$$q = \frac{1}{1 + \frac{\sqrt{a}}{\sqrt{r}}} = \frac{1}{1 + \frac{0,096}{\sqrt{0,01}}} \Rightarrow q = 0,51$$

9) O fator de concentração de tensão por fadiga, usando $q=0,51$ em flexão e um fator de concentração de tensão de 3,5 por flexão:

$$k_f = 1 + q(k_t - 1)$$

(Eq. 6.11b) $k_f = 1 + 0,51(3,5 - 1)$ $k_t \rightarrow$ Fator de concentração de tensão por flexão

$$k_f = 2,275$$

Para um degrau carregado à torção, da figura 6-36 obtém-se $q = 0,60$ em torção (ponto C):

$$k_{fs} = 1 + q(k_{ts} - 1)$$

$$k_{fs} = 1 + 0,60(2 - 1)$$

$$k_{fs} = 1,60$$

A componente de tensão média torcional.

(Eq. 6.17) $k_{fsm} = k_{fs} = 1,60 \rightarrow k_f \cdot |\sigma_{\max nom}| < S_y$

10) O diâmetro do eixo no ponto D, usando a magnitude do momento igual a 23,2 lb.in:

(Eq. 9.6)

$$d_2 = \left\{ \frac{32 (N_f)}{\pi} \left[\left(k_f \frac{M_c}{S_f} \right)^2 + \frac{3}{4} \left(k_{fsm} \frac{T_m}{S_y} \right)^2 \right]^{\frac{1}{2}} \right\}^{1/3}$$

$$d_2 = \left\{ \frac{32 (2,5)}{\pi} \left[\left(2,275 \frac{23,2}{29920} \right)^2 + 0 \right]^{\frac{1}{2}} \right\}^{1/3}$$

$$d_2 = 0,355 \text{ in}$$

11) No ponto B, sob a engrenagem, usando um fator de concentração de tensão de 4 para as chavetas tanto em flexão como em torção, temos:

$$\text{Chavetas} \begin{cases} k_f = 1 + q(k_t - 1) = 1 + 0,51(4 - 1) = 2,53 \Rightarrow \text{flexão} \\ k_{fs} = 1 + q(k_{ts} - 1) = 1 + 0,60(4 - 1) = 2,80 \Rightarrow \text{torção} \end{cases}$$

12) O diâmetro no ponto B (Eq. 9.6):

$$d_1 = \left\{ \frac{32 (N_f)}{\pi} \left[\left(k_f \frac{M_c}{S_f} \right)^2 + \frac{3}{4} \left(k_{fsm} \frac{T_m}{S_y} \right)^2 \right]^{\frac{1}{2}} \right\}^{1/3}$$

$$d_1 = \left\{ \frac{32 (2,5)}{\pi} \left[\left(2,53 \frac{48,1}{29920} \right)^2 + \frac{3}{4} \left(2,8 \frac{72,03}{57000} \right)^2 \right]^{\frac{1}{2}} \right\}^{1/3} \Rightarrow d_1 = 0,506 \text{ in}$$

13) Outra possibilidade de falha é o degrau no qual a polia se assenta, no ponto C, mas como os fatores de concentração de tensão são maiores devido ao efeito das chavetas, então se usam esses para o cálculo do diâmetro no ponto C:

$$d_3 = \left\{ \frac{32 (N_f)}{\pi} \left[\left(k_f \frac{M_c}{S_f} \right)^2 + \frac{3}{4} \left(k_{fsm} \frac{T_m}{S_y} \right)^2 \right]^{\frac{1}{2}} \right\}^{1/3}$$

$$d_3 = \left\{ \frac{32 (2,5)}{\pi} \left[\left(2,53 \frac{59,65}{29920} \right)^2 + \frac{3}{4} \left(2,8 \frac{72,03}{57000} \right)^2 \right]^{\frac{1}{2}} \right\}^{1/3} \Rightarrow d_3 = 0,532 \text{ in}$$

Exercício 02) Projete uma chaveta para o eixo do *Exercício 01* e refine a estimativa dos fatores de segurança dos eixos com base em dimensões preliminares de projeto (diâmetros encontrados no exercício anterior).

Dados: Considere o mesmo carregamento do *Exercício 01*. Suponha chavetas quadradas, cujo material seja de aço de baixo carbono.

Momento máximo: Ponto B $\rightarrow M_B = 48,1lb \cdot in$

Ponto C $\rightarrow M_C = 59,65lb \cdot in$

Diâmetros: $d_1 = 0,506in$ (em B)

$d_3 = 0,532in$ (em C)

Hipóteses: Use chavetas quadradas com comprimento de 0,5 in, paralelas, com rasgos produzidos por fresa de topo. O material do eixo é o mesmo que no *exercício 01*. Um aço, SAE 1010, será usado para as chavetas. Seu $S_{ut} = 53kpsi$ e $S_y = 44kpsi$.

Resolução:

1) Há duas posições com chavetas neste eixo, nos pontos B e C. A tabela 9-2 mostra que a largura da chaveta padrão para d_1 e d_3 é 0,125 in.

2) No ponto B a componente média da força na chaveta:

$$F_m = \frac{T_m}{r} = \frac{72,03}{0,253} \rightarrow F_m = 284,70lb$$

3) Assumindo o comprimento de chaveta como sendo de 0,5 in e calculando a tensão de cisalhamento média:

$$\tau_m = \frac{F_m}{A_{cis}} = \frac{284,70}{0,125 \cdot 0,5} \rightarrow \tau_m = 4555,2psi$$

4) Coeficiente de segurança para falha por cisalhamento:

$$N_f = \frac{S_{ys}}{\tau_m} = \frac{0,577 \cdot 44000}{4555,2} \rightarrow N_f = 5,57$$

5) A tensão de esmagamento da chaveta é compressão, e assim pode ser considerada uma carga estática. Ela é calculada usando a força máxima na chaveta:

$$\sigma_{max} = \frac{F_m}{A_{esm}} = \frac{284,7}{0,0625 \cdot 0,5} = 9110,4psi$$

6) O coeficiente de segurança para falha por esmagamento:

$$N_s = \frac{S_y}{\sigma_{max}} = \frac{44000}{9110,4} = 4,83$$

7) No ponto C, a força na chaveta é:

$$F_m = \frac{T_m}{r} = \frac{72,03}{0,266} = 270,8lb$$

8) Pressuponha um comprimento de chaveta de 0,5 in e calcular a tensão de cisalhamento média:

$$\tau_m = \frac{F_m}{A_{cis}} = \frac{270,8}{0,125 \cdot 0,5} = 4332,8 \text{ psi}$$

9) Coeficiente de segurança para falha por cisalhamento:

$$N_{cis} = \frac{S_y}{\tau_m} = \frac{0,577 \cdot 44000}{4332,8} \rightarrow N_f = 5,86$$

10) A tensão de esmagamento na chaveta:

$$\sigma_{\max} = \frac{F_m}{A_{esm}} = \frac{270,8}{0,0625 \cdot 0,5} = 8665,6 \text{ psi}$$

11) O coeficiente de segurança para falha por esmagamento:

$$N_s = \frac{S_y}{\sigma_{\max}} = \frac{44000}{8665,6} = 5,08$$

12) Os coeficientes de segurança para o eixo nessas posições podem agora ser recalculados. Utilizando a figura 9-16 que mostra as funções de concentração de tensão para os rasgos de chaveta, devemos calcular r/d . Supondo um raio de entalhe da fresa de topo de 0,01 in:

$$\rightarrow \text{para o ponto B: } \frac{r}{d} = \frac{0,01}{0,506} = 0,0198$$

$$\rightarrow \text{para o ponto C: } \frac{r}{d} = \frac{0,01}{0,532} = 0,0188$$

Pela figura 9-16, para k_t e k_{ts} sem nenhuma chaveta colocada, obtemos os fatores de concentração de tensão para flexão e tensão:

$$\rightarrow \text{para o ponto B: } k_t = 2,2 \quad \text{e} \quad k_{ts} = 2,625$$

$$\rightarrow \text{para o ponto C: } k_t = 2,2 \quad \text{e} \quad k_{ts} = 2,625$$

13) Obter os fatores de concentração de tensão por fadiga, para um material com sensibilidade de entalhe $q = 0,5$:

$$k_f = 1 + q(k_t - 1)$$

$$\rightarrow \text{para o ponto B: } k_f = 1,6 \quad \text{e} \quad k_{fs} = 1,813$$

→ para o ponto C: $k_f = 1,6$ e $k_{fs} = 1,813$

→ para ambos os pontos: $k_{fm} = k_f$ e $k_{fsm} = k_{fs}$

14) Os novos coeficientes de segurança são, então, recalculados:

→ para o ponto B:

$$d_1 = 0,506 = \left\{ \frac{32N_f}{\pi} \left[\left(1,6 \frac{48,1}{29920} \right)^2 + \frac{3}{4} \left(1,813 \frac{72,03}{57000} \right)^2 \right]^{1/2} \right\}^{1/3} \Rightarrow N_f = 3,92$$

→ para o ponto C:

$$d_3 = 0,532 = \left\{ \frac{32N_f}{\pi} \left[\left(1,6 \frac{59,65}{29920} \right)^2 + \frac{3}{4} \left(1,813 \frac{72,03}{57000} \right)^2 \right]^{1/2} \right\}^{1/3} \Rightarrow N_f = 3,92$$

Neste caso, é necessário reduzir as dimensões das chavetas para respeitar a recomendação de que o fator de segurança das mesmas deve ser inferior aos do eixo nas respectivas seções.